

論文

UDC 669.14.018.8 : 669.15'26-194.3 : 620.196.2

フェライト系ステンレス鋼の粒界腐食感受性と 炭化物および窒化物析出の関係*

竹田元彦**・吉岡啓一***・小野 寛**・大橋延夫***

Relation between Intergranular Corrosion Susceptibility and Precipitation of Carbides and Nitrides in 17% Cr Ferritic Stainless Steels

Motohiko TAKEDA, Keiichi YOSHIOKA, Yutaka ONO, and Nobuo OHASHI

Synopsis:

To clarify the cause of intergranular corrosion of 17% Cr ferritic stainless steels, precipitation of chromium carbides and nitrides at grain boundaries was studied by electrical resistivity measurement and electron microscopic observation on the steels having various amounts of carbon and nitrogen.

On the quenched and isochronously annealed specimens, precipitation was found at two stages for chromium carbides, $(Fe, Cr)_7C_3$ at $550^\circ\text{C} \sim 650^\circ\text{C}$ and $Cr_{23}C_6$ at above 700°C , and also at two stages for chromium nitrides, the one of not identified structure at $400^\circ\text{C} \sim 550^\circ\text{C}$ and Cr_2N at $650^\circ\text{C} \sim 750^\circ\text{C}$. Intergranular corrosion susceptibility was remarkably raised by the precipitation of $(Fe, Cr)_7C_3$ at $550^\circ\text{C} \sim 600^\circ\text{C}$ and "unknown" nitride at $400^\circ\text{C} \sim 550^\circ\text{C}$.

Chromium depletion zone along grain boundaries formed by the very rapid precipitation of these special types of carbide and nitride at the intermediate temperatures around 550°C was indicated as the most probable reason for intergranular corrosion.

1. 緒 言

フェライト系ステンレス鋼の粒界腐食は 1933 年に HOUDREMONT¹⁾ により見出されて以来数多くの研究によつて調べられてきたが、その機構については(1)鉄炭化物の選択溶解²⁾、(2)析出物による周辺歪部の優先腐食³⁾、(3)マルテンサイトの優先溶解⁴⁾、(4)粒界への炭窒化物析出による Cr 欠乏⁵⁾など種々の説が提唱されている。BAUMEL⁶⁾の研究以来、大勢^{6)~9)}は Cr 欠乏説を支持しているが、粒界に析出している炭化物と窒化物を定量化して粒界腐食の機構を検討した例は BAUMEL 以外ではなく、析出する炭化物の構造についてもいまだに定説がない。その理由の一つとして粒界腐食感受性がある試料では薄膜作製が困難なため電子顕微鏡で粒界を直接観察することができないことが挙げられるが、事実 Cr 欠乏層を直接検出した証拠は岡田ら¹⁰⁾が 25%Cr 鋼を EPMA で調べた程度に止まつている。

一般にフェライト系ステンレス鋼は、 900°C 以上の温度から急冷する場合、その加熱温度の上昇とともに粒界

腐食に鋭敏化しやすくなるが、このような試料も $700^\circ\text{C} \sim 800^\circ\text{C}$ で焼鈍するとふたたび安定化する。したがつてこのような粒界腐食挙動は、オーステナイト系ステンレス鋼が 1000°C 以上からの急冷(溶体化処理)で安定化し、 $600^\circ\text{C} \sim 800^\circ\text{C}$ の加熱で鋭敏化するとの逆の関係にあり、これを説明できる十分な機構解明もなされていない。最近、フェライト系ステンレス鋼の炭化物と窒化物の析出について、KASSEM¹¹⁾が硬度と抗磁力の測定を行ない、析出段階を 200°C 以下、 $200^\circ\text{C} \sim 450^\circ\text{C}$ 、 $450^\circ\text{C} \sim 625^\circ\text{C}$ および $625^\circ\text{C} \sim 800^\circ\text{C}$ に区分し、それぞれに M_2C 、 $M_2C + CrN$ 、 $M_7C_3 + Cr_2N$ および $M_{23}C_6$ の析出が対応することを報告している。この結果はマルテンサイト系ステンレス鋼における佐藤ら¹²⁾と増本ら¹³⁾の結果と同一である。しかしながら、これらの研究は主として硬化機構および母相と析出物の結晶学的関係の解明をその対象としており、実験は硬度測定で行なわれているため析出過程を厳密に追求するには不十分である。

そこで本研究では、フェライト系ステンレス鋼の粒界腐食感受性を与える熱処理条件においてどのような析出

* 昭和 51 年 4 月 4 日受付 (Received Apr. 4, 1976)

** 川崎製鉄(株)技術研究所 (Research Laboratories, Kawasaki Steel Corp., 1 Kawasaki-cho Chiba 280)

*** 川崎製鉄(株)技術研究所 工博 (Research Laboratories, Kawasaki Steel Corp.)

Table 1. Chemical compositions of the specimens (wt %).

Element	C	N	Si	Mn	Cr	Al _{tot}
Commercial steel*	A	0.014	0.014	0.36	0.11	16.3
Vacuum-melted steel**	B	0.003	0.003	0.02	0.01	16.2
	C ₁	0.008	0.003	0.01	<0.01	16.6
	C ₂	0.015	0.003	0.01	0.01	16.5
	C ₃	0.034	0.006	0.01	<0.01	17.2
	C ₄	0.044	0.005	0.01	<0.01	16.9
	C ₅	0.021	0.003	0.01	0.50	16.9
	C ₆	0.020	0.003	0.49	0.01	16.6
	N ₁	0.003	0.012	0.02	0.01	16.2
	N ₂	0.003	0.026	0.02	0.01	16.2
	N ₃	0.004	0.012	<0.01	<0.01	15.7
CN		0.014	0.049	0.01	0.01	16.5
						<0.01

* P=0.02%, S=0.005% Ni=0.13%

** P=0.002 or 0.003%, S=0.004 or 0.005%, Ni<0.01%

が起こっているかを知るため、粒界腐食試験と電気抵抗測定の結果を比較するとともに、薄膜試料を作製して透過電子顕微鏡観察と析出物の電子線回折による同定を行なつた。

2. 実験方法

2.1 供試材

供試材の化学組成を Table 1 に示す。おもに実験の対象とした供試材は、50 t 電気炉で溶解し VOD 炉で真空精錬したのち商用工程で製造された記号 A である。通常 JIS に規定されている SUS 430 は C を 0.04% 以上含有しており、約 850°C 以上に加熱すると一部にオーステナイト相が出現し、それが冷却途中でマルテンサイト変態する。この変態相の量は C と N が多いほど多くなる¹⁴⁾が、供試材 A は真空精錬により C と N をそれぞれ 0.014% と低くしているのでマルテンサイトはほとんど出現せず全温度領域にわたってフェライト単相となつていて。しかしこの商用材は C と N を同等に含有しており、この試料だけでは粒界腐食におよぼす C と N の影響を分離して調べることができない。したがつて記号 B, C₁~C₆, N₁~N₃ および CN の鋼を実験室の 10 kg 真空溶解炉により作製して、炭化物と窒化物の析出過程を分離する補足実験を行なつた。

供試材を熱延と冷延によりすべて 0.8 mm 厚鋼板にして、腐食試験と電気抵抗測定用の試料を作製した。また、電子顕微鏡観察用試料は板厚が大きくなるほど薄膜作製が困難となるので、0.25 mm まで冷延したもの用意した。これらの試料の最初の熱処理である高温処理は、石

英管に真空封入して 1200°C に加熱後 15 min 保持したのちとり出したが、その冷却は石英管を氷水中で割つて水冷したり、石英管中に入れたまま水冷したりするほか、空冷あるいは炉冷などを行なつた。これらの冷却の際、あらかじめ試料に溶接しておいた熱電対により冷却曲線を記録し、800°~400°C の温度域の冷却速度を求めた。

また、1200°C から水冷あるいは空冷した試料を等時(30 min)あるいは等温焼鈍して、粒界腐食感受性、電気抵抗および電子顕微鏡組織におよぼす熱処理の影響を調べた。一部の試料は 1200°C 真空焼鈍すると容易に脱窒するので、その防止のためあらかじめ希薄な H₂-NH₃ ガスを石英管に封入して焼鈍した。

2.2 粒界腐食試験

フェライト系ステンレス鋼の粒界腐食感受性は試験法により著しく異なることが報告されている⁸⁾が、ここでは粒界腐食感受性を定量的に把握することに重点を置き、JIS G 0572 番に規定されている硫酸-硫酸第 2 鉄沸騰浸漬試験を 4 h 行ない、減量を粒径の大小による影響を無視して腐食速度(g/m²·h)で表わした。本法は試料浸漬開始時に試料が活性溶解があるので、あらかじめ 60% HNO₃ で不動態化処理した。なお、他の腐食試験法との比較のため硫酸-硫酸銅試験(JIS G 0575)を一部行なつた。

2.3 電気抵抗測定

冷延板から 0.8×1.2×300 の棒状試料を採取し、石英管中で 1200°C, 15 min 保持の熱処理を施したのち、氷水中で石英管を割り水冷した。これを 100°~1000°C の温度範囲で 25°C 間隔ごとに 15 min 保持する等時焼鈍

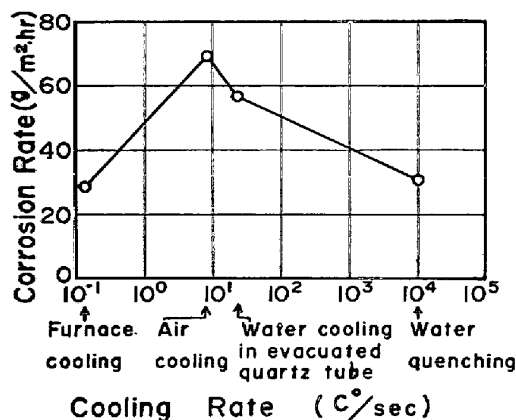


Fig. 1. Effect of cooling rate between 800°C and 400°C on the way of cooling from 1200°C on corrosion rate of commercial steel A in boiling ferric sulfate-50% sulfuric acid solution.

と、600°Cでの等温焼鈍を施し、4端子法で液体窒素温度での電気抵抗を測定した。

2.4 電子顕微鏡観察

0.25 mmの冷延板を石英管中に封入して、種々の熱処理を施したのち、10%過塩素酸と90%酢酸の電解液を0°Cに冷却しながら約0.3 A/cm²の電流密度で電解研磨して薄膜を作製した。これをクロム酸・リン酸電解液のジェット法により仕上研磨して、加速電圧100あるいは200kVの電子顕微鏡により透過法で組織を観察した。

3. 実験結果

3.1 粒界腐食性に対する冷却速度の影響

商用鋼Aを1200°Cから冷却した試料の腐食速度におよぼす冷却速度の影響をFig. 1に示す。空冷の場合がもつとも減量が大きく、ついで石英管に入れたまま水冷した試料の腐食速度が大きい。

1200°Cから冷却した試料の電子顕微鏡組織をPhoto. 1に示す。水冷した試料の粒界には析出物がわずかに出現している。腐食速度の大きい空冷試料の粒界には網目

状の析出物が出現しており、このことが本試料の著しい粒界腐食性と関係あることが示唆された。腐食速度が小さい炉冷試料は粒界の析出物が凝集し空冷の場合よりも大きくなつて不連続となつていている。これらを電子線回折すると回折模様にストリークが観察された。この回折模様はBEECHとWARRINGTON¹⁵⁾が報告しているCr₇C₃のCrが多少Feに置換されて多少歪んだ(Cr, Fe)₇C₃(M₇C₃)のもので、その歪により生ずる特有のストリークが観察された。なお、マルテンサイト組織はいかなる試料にも観察されず、緒言で述べたマルテンサイト優先溶解説は本試料の場合否定的である。

3.2 粒界腐食性に対する等時焼鈍温度の影響

3.2.1 商用鋼による結果

供試材Aを1200°Cから水冷後等時焼鈍した際の腐食速度と電気抵抗の焼鈍温度依存性をFig. 2に示す。水冷のままと500°C以下で焼鈍した試料は腐食速度が小

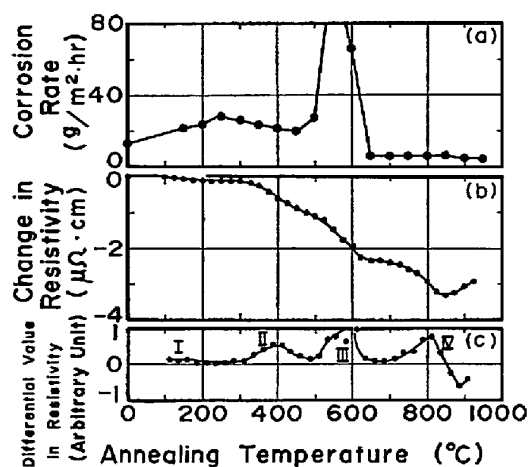


Fig. 2. Comparison between the changes in corrosion rate (a) in boiling ferric sulfate-50% sulfuric acid solution and electrical resistivity change (b and c) due to isochronous annealing in commercial steel A water-quenched from 1200°C.

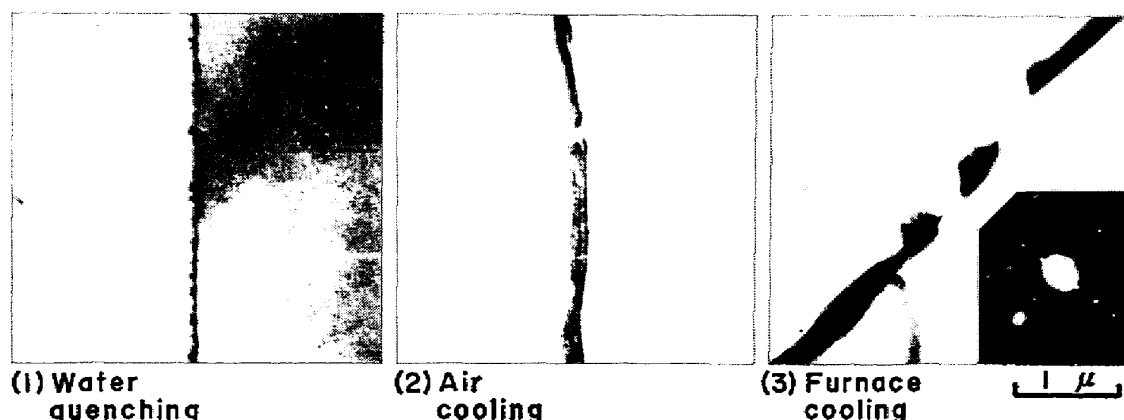


Photo. 1. Electron micrographs of commercial steel A cooled from 1200°C.

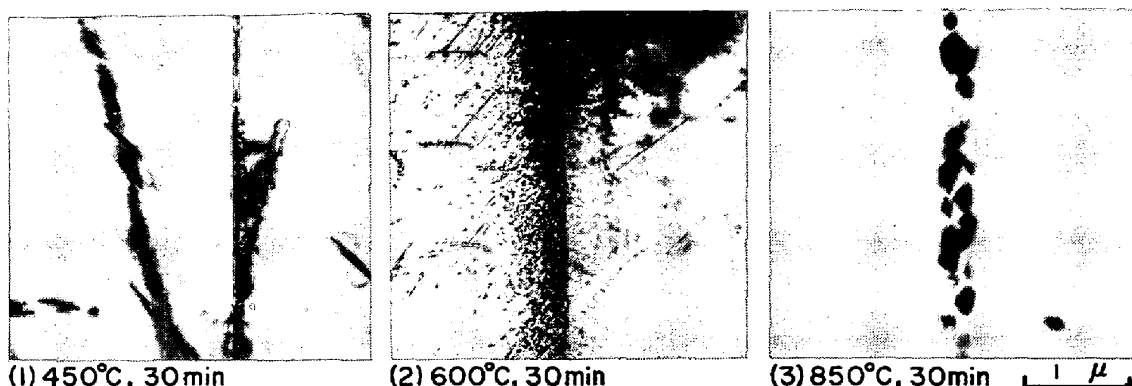


Photo. 2. Electron micrographs of commercial steel A annealed after water-quenching from 1200°C.

さいが、550°～600°C の狭い温度範囲での焼鈍により腐食速度が急増し粒界腐食が非常に著しくなることが注目される。650°C 以上の焼鈍によって腐食速度はふたたび小さくなる。

しかしこれらの試料を硫酸-硫酸銅液で腐食試験すると、水冷材と 600°C 以下の焼鈍試料はすべて粒界腐食感受性を示し、650°C 以上の焼鈍で粒界腐食感受性がなくなる。

一方、電気抵抗は水冷直後の試料は鋼中に固溶する C と N が多いので大きいが、焼鈍により炭化物や窒化物が析出すると固溶 C, N が減少して小さくなる。供試材 A の電気抵抗変化（微分係数）は約 150°, 300°～500°C, 500°～650°C および 700°～850°C（以下それぞれ第 I, 第 II, 第 III および第 IV ステージと呼ぶ）で極大になり、上述の腐食試験結果と対照すると、粒界腐食感受性の増大には第 III ステージの析出が関与していることがわかる。また、850°C 以上では電気抵抗が増加するが、これはそれまでに析出した析出物の再溶解によるものと考えられる。

これらの各ステージの代表的な試料について電子顕微鏡観察した結果の一部を Photo. 2 に示す。水冷のままの試料は Photo. 1 の(1)に示したが、焼鈍第 I ステージの 200°C では転位上に微細な析出物が現われ、そして 450°C の第 II ステージになると転位と粒界に析出物が現われてくるが、いずれの試料も腐食速度は大きくなない。しかし腐食速度がもつとも大きくなる 600°C の第 III ステージでは粒界とその近傍約 5000 Å～1 μ の範囲に約 50 Å の微細な析出物が無数に出現している。また、粒内にもこれと同一とみなされる析出物が転位上に析出している。電気抵抗が最小になる 850°C 焼鈍材では 0.3～0.8 μ 程度に成長した粒界析出物となり、その電子線回折には Cr₂₃C₆ の回折模様が現われた。

3.2.2 実験室溶解鋼による結果

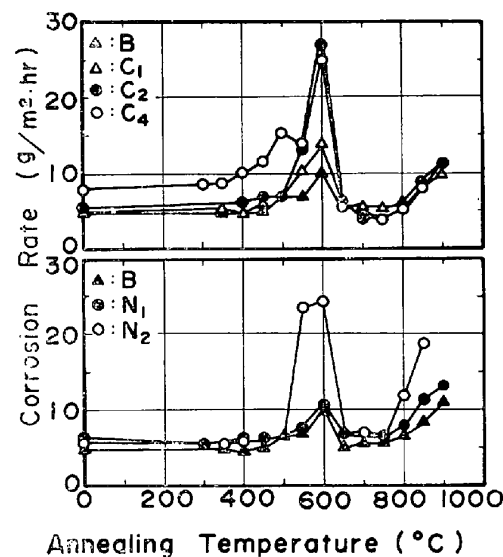


Fig. 3. Effect of annealing temperature on corrosion rate of vacuum-melted steels after water-quenching from 1200°C in boiling ferric sulfate-50% sulfuric acid solution.

C と N を変化させた真空溶解鋼 (B, C₁～C₄, N₁, N₂) を 1200°C から水冷後等時焼鈍した場合の腐食速度の変化を Fig. 3 に示す。Fig. 2 に比べて速度の絶対値が小さいが、これはそれぞれの試料の粒径が異なるためと考えられる。すなわち、Fig. 2 の試料は Fig. 3 の試料に比べて粒径が小さく、腐食試験中に試料から離脱する粒が多く、腐食速度が大きくなる。

N が 30 ppm と少なく、C が 80 ppm 以上の試料 (C₁～C₄) は 600°C で、また C が 30 ppm で N が 260 ppm の試料 (N₂) は 550°～600°C で腐食速度は最大となり、いずれも 650°C では粒界腐食感受性がなくなる。腐食速度は粒径に大きく依存するので一概には比較できないが、1200°C から水冷後 600°C で 30 min の焼鈍を行なう場合、C 量が 80 ppm で腐食速度が大きくなるのに対して、N 量は 120 ppm でもそれほど大きくならないことが注目される。

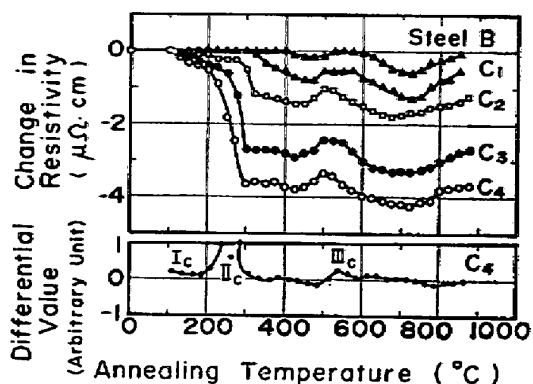


Fig. 4. Effect of isochronous annealing temperature on the changes in electrical resistivity of carbon-containing steels after water-quenching from 1200°C.

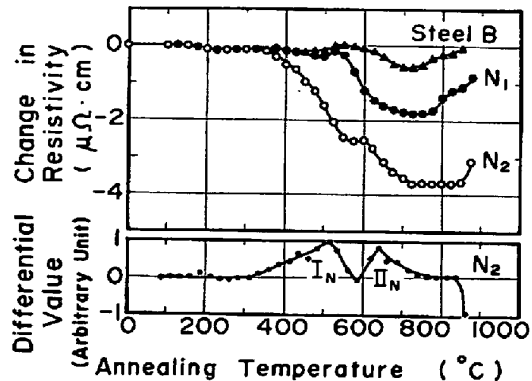


Fig. 5. Effect of isochronous annealing temperature on the changes in electrical resistivity of nitrogen-containing steels after water-quenching from 1200°C.

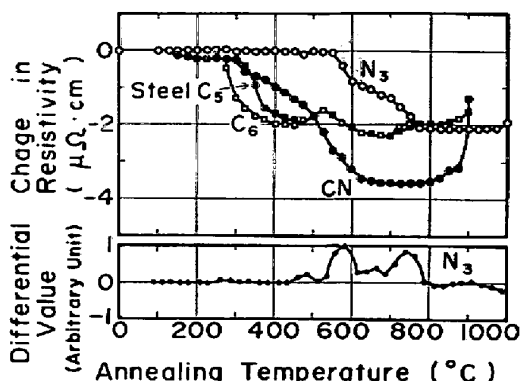


Fig. 6. Effects of G, N, Al, Mn and Si on the changes in electrical resistivity due to isochronous annealing of steels water-quenched from 1200°C.

実験室溶解鋼を1200°Cから水冷後等時焼鈍した際の電気抵抗変化をFig. 4, 5, 6に示す。Cを含有している鋼の析出ステージは、150°, 250°~350°と550°~600°の3温度(以下それぞれ第I_C, 第II_Cおよび第III_Cステージと呼ぶ)にあり、第II_CステージはC量の増加とともに低くなる。そして、C量の大小によらず第II_Cステージの電気抵抗は425°C以上でいったん増加し、550°Cからふたたび減少して第III_Cステージが始まつておる、このことから第III_Cステージの析出物は425°Cで溶解することを示している。Cが30 ppmでNが260 ppmの鋼(N₂)は析出ステージが400°~550°と650°~700°Cの2温度(以下にそれぞれ第I_Nと第II_Nステージと呼ぶ)にあり、600°Cに電気抵抗変化の変曲点が存在する。

Fig. 6のCN材のようにCとNが共存していると炭化物と窒化物の析出が重置され、電気抵抗変化は商用材の

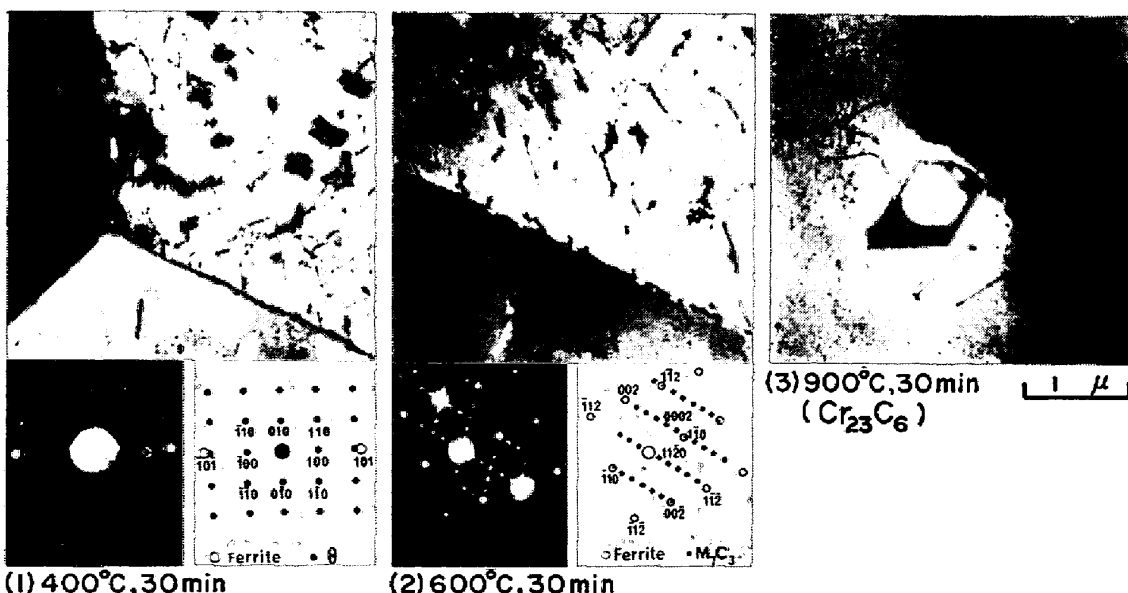


Photo. 3. Electron micrographs of steel C₄ isochronously annealed after water-quenching from 1200°C.

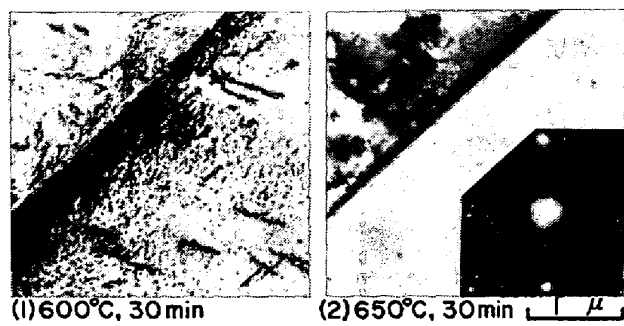


Photo. 4. Electron micrographs of steel N₂ isochronously annealed after water-quenching from 1200°C.

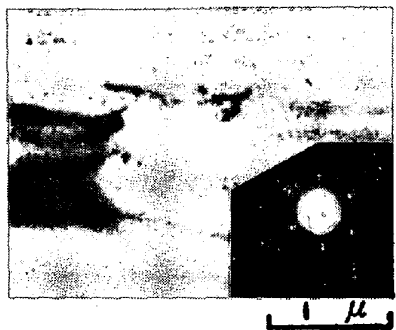


Photo. 5. Electron micrographs of steel N₃ annealed at 800°C after water-quenching from 1200°C.

Fig. 2 と類似しているが、商用材は CN 材と多少異なり 800°C に第Ⅳステージがある。このステージの生因を解明するため窒化物の析出におよぼす Al の影響を調べた結果、0.24%Al 含有鋼 (N₃) は商用材と同様に 700°～800°C に析出ステージを持ち、さらに 850°C でも CN 材のような電気抵抗の増加がなく、950°C 以上の加熱により初めて C と N の再固溶が始まる。したがつて、Fig. 2 の電気抵抗の第Ⅳステージは Al に関係するものと思われる。また、Mn は第Ⅱc ステージ開始温度を上昇させるのに対して、Si は炭化物の析出に影響をおよぼしていない。

代表的な析出ステージの電子顕微鏡組織を Fig. 3, 4, 5 に示す。C 含有鋼の第Ⅱc ステージではセメンタイト (θ) が、第Ⅲc ステージでは $(\text{Cr}, \text{Fe})_7\text{C}_3$ が (Photo. 3 の (2) の回折模様は二つの粒からの回折が重畳している)、そして 900°C では Cr_{23}C_6 が析出している。また、0.026%N 鋼は 500°C から微細な析出物が現われ、600°C では粒界および粒内に微細な析出物が多量に出現して、650°C 以上の第ⅡN ステージではそれが凝集して Cr_2N の回折模様が現われた。したがつて、Photo. 2 の商用材の 600°C で観察された 50Å 程度の析出物は窒化物であることが判明した。なお、この微細な第ⅠN ステージの析出物を電子線回折すると、 CrN でも Cr_2N でもない解

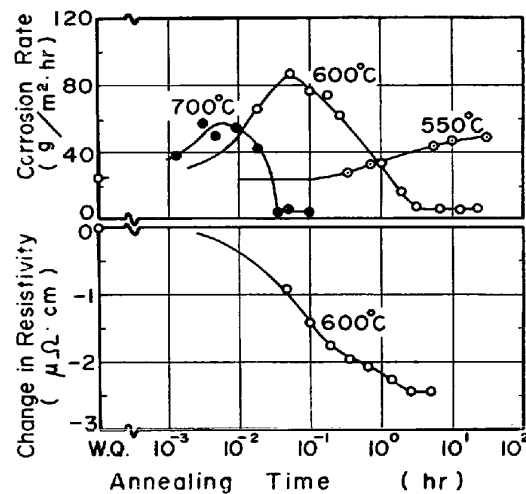


Fig. 7. Comparison between the changes in corrosion rate in boiling ferric sulfate-50% sulfuric acid solution and electrical resistivity change due to isothermal annealing in commercial steel A water-quenched from 1200°C.

析困難な回折模様が現われている。また、Al 含有鋼の 800°C の試料には AlN が析出しておらず、商用材の第Ⅳステージは AlN の析出によるものであると考えられる。

以上の結果から、商用材の粒界腐食感受性と関係する第Ⅲステージの析出過程は $(\text{Cr}, \text{Fe})_7\text{C}_3$ の第Ⅲc ステージと解析困難な窒化物の第ⅠN ステージの重畳したものであることが判明した。

3・3 粒界腐食性に対する等温焼鈍時間の影響

3・3・1 商用鋼による結果

供試材 A を 1200°C から水冷後、500°, 600° および 700°C で等温焼鈍した際の腐食速度の変化を、600°C での電気抵抗変化とあわせて Fig. 7 に示す。時間とともに腐食速度は増大し、極大に達したのち減少して一定の小さな値となる。焼鈍温度が高くなるにしたがい短時間で粒界腐食感受性が消失する。一方、600°C の電気抵抗は時間とともに減少し、3 h で一定となる。この場合の最終電気抵抗値は Fig. 2 の第Ⅲステージで回復した値ときわめてよく一致する。したがつて、600°C, 3 h の焼鈍では第Ⅳステージの析出物は形成されないことを意味している。また、600°C の腐食速度と電気抵抗の等温焼鈍曲線を比較すると、粒界腐食感受性が消失する時間は析出が完了する時間と非常によく一致している。この結果も粒界腐食は 600°C の第Ⅲステージの析出過程と関連があることを示している。また、緒言で述べた析出物優先溶解説が正しいとすると粒界腐食感受性消失時間が析出完了時間と一致することはないはずである。

1200°C から水冷後、600°C で焼鈍した試料を電子顕微鏡観察すると Photo. 2 の(2)に示すような微細な析

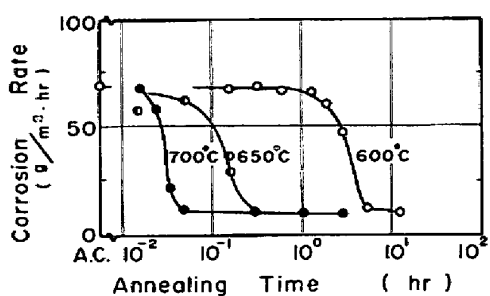


Fig. 8. Effect of isothermal annealing time on corrosion rate of commercial steel A air-cooling from 1200°C in boiling ferric sulfate-50% sulfuric acid solution.

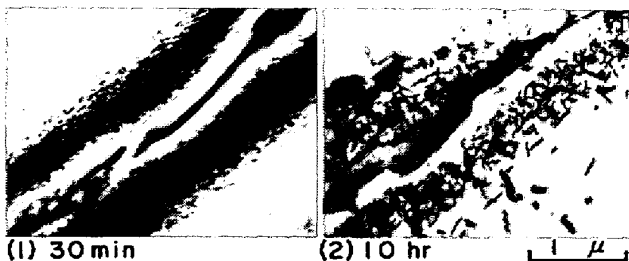


Photo. 6. Electron micrographs of commercial steel A annealed at 600°C after air-cooling from 1200°C.

出物が3 min の焼鈍すでに現われておりその時に腐食速度は最大になっている。また、粒界腐食感受性が消失する 180 min の焼鈍では微細な析出物が凝集して大きな析出物に成長している。600°C, 180 min の焼鈍試料には電子線回折の結果 $(\text{Cr}, \text{Fe})_7\text{C}_3$ の回折模様が現われた。

一方、1200°Cから空冷したのち 600°C~700°C で等温焼鈍した際の腐食速度の変化を Fig. 8 に示す。温度が高くなるほど粒界腐食感受性は早く消失して、600°Cでの消失時間は約 6 h であるのに対して、700°C では約 3 min となる。600°Cで焼鈍した試料の電子顕微鏡組織を Photo. 6 に示す。焼鈍により微細な Cr 窒化物が粒界から 1500~2000 Å 離れて、6000 Å~1 μ までの領域に析出している。粒界から離れた粒内では窒化物は析出せず、この理由は粒内には析出サイトが少なく、また N は Cr に比べて拡散速度が大きいので、析出サイトの多い粒界近傍まで拡散し粒界で析出しやすいためと考えられる。粒界腐食感受性のない 10 h の焼鈍試料では析出物は大きく凝集している。この写真によると粒界近傍 1500~2000 Å の範囲には Cr の炭化物と窒化物が析出できないことが示されており、したがつてそこでは Cr が粒界析出物に濃縮した結果 Cr 欠乏層を形成しているものと解釈される。

3.3.2 実験室溶解鋼による結果

以上の実験により粒界腐食の原因は第 IIc ステージの

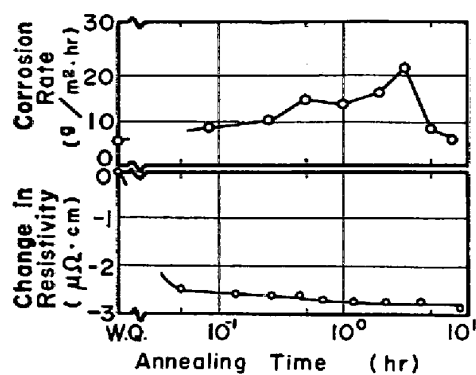


Fig. 9. Comparison between the changes in corrosion rate in boiling ferric sulfate-50% sulfuric acid solution and electrical resistivity change due to isothermal annealing in nitrogen-containing steel N₂ water-quenched from 1200°C.

$(\text{Cr}, \text{Fe})_7\text{C}_3$ の析出および第 I_N ステージの微細窒化物の析出と強く関係していることが確認できたが、窒化物の構造については不明なので以下に補足的な実験を行なつた。

Fig. 9 は C が 30 ppm で N が 260 ppm の試料を 1200°C から水冷後、600°C で焼鈍して腐食試験と電気抵抗を測定した結果である。腐食速度は 3 h で最大となり、5 h で小さくなり一定となる。それに対して電気抵抗は 3 min ですべて約 $2.5 \mu\Omega \cdot \text{cm}$ 減少し、この値は焼鈍温度が長くなつてもほとんど変化せず、 Cr_2N 析出の第 II_N ステージまで電気抵抗が減少していない。したがつて、 Cr_2N の析出は粒界腐食の原因とはなつてないと考えられる。なお、第 I_N ステージの析出物の電子線回折では立方晶の回折模様が観察されている。

4. 考察

得られた結果からフェライト系ステンレス鋼の粒界腐食の機構と炭化物あるいは窒化物析出の関係を考察する。

4.1 粒界腐食の機構

本実験結果は緒言で述べた四つの説のうち粒界への Cr 炭化物と窒化物の析出によるその近傍の Cr 欠乏説の機構を強く支持していると考えられる。

すなわち、1200°Cから水冷し 600°C で 3 min の焼鈍を行なうと Fig. 7 のように腐食速度が最大となるが、この時間内での Cr 原子の平均拡散距離 $\sqrt{D t}$ (ここで、D は拡散係数、t は焼鈍時間) を WOLFE と PAXTON のデーター¹⁶⁾を用いて計算すると、約 300 Å となる。この距離は Photo. 2 の(2)のように粒界近傍で炭化物と窒化物が析出している領域の幅 (5000 Å~1 μ) よりはるか

に小さい。それゆえに粒界近傍では約 50 Å の微細な析出物に Cr が富化し、粒内からの Cr の拡散補給が困難なためそのごく近傍の地鉄は Cr が枯渇して Cr 欠乏層を形成していると考えられる。また、水冷後 600°C の等温焼鈍で粒界腐食感受性が消失する時間は 3 h となり、この時間での Cr 原子の平均拡散距離を計算すると約 2 400 Å となる。この値は 600°C 焼鈍の際の粒界析出領域の最小幅の 1/2 すなわち粒界を中心として 2 500~3 000 Å の幅にほぼ等しい。したがって、600°C で 3 h の焼鈍により粒界の Cr 欠乏層が一部消失して、粒界腐食がもはや進行しなくなると考えられる。

また、空冷して Photo. 1 の(2)のように網目状の析出物が出現する試料を 600°C で焼鈍すると、Photo. 6 のように粒界近傍に Cr の炭化物と窒化物を析出しない層を観察できる。今、本実験のように 1200°C に加熱した場合、冷却途中（冷却速度 $\alpha^{\circ}\text{C/sec}$ ）の $T_p^{\circ}\text{C}$ 以下で炭化物と窒化物の析出が開始すると仮定し、Cr がそれ以下の温度の冷却途中で拡散できる平均距離 L を計算すると、

となる。ここで、 D_0 は Cr 原子の拡散定数、 E は Cr 原子の拡散の活性化エネルギー、 R は気体定数、 T は絶対温度、 t は冷却途中 T_P °C からの時間である。したがって、 $T = T_P - \alpha t$ となり、これを(1)に代入すると近似計算¹⁷⁾により

$$\overline{L} \approx \sqrt{D_0 \cdot E/\alpha \cdot R} [\exp(-\bar{x})] [(1/\bar{x})^2 - 2/(1/\bar{x})^3 + 3/(1/\bar{x})^4] \dots \quad (2)$$

となり、ここで $x = E/R \cdot T_p$ である。また、 $x \geq 20$ であるから $(1/x)^2 \gg 2!(1/x)^3$ となり 3乗項以下を無視し、 α を空冷の場合の 10°C/sec 、 T_p を 900°C として WOLFE と PAXTON のデーターを代入すると、 $L \approx 2000\text{\AA}$ となる。したがつてこの結果は、空冷途中で 900°C から 炭化物と窒化物の析出が始まると仮定すると、その粒界析出のために約 2000\AA 離れた所から Cr 原子が拡散できることを示している。すなわち、空冷途中にこの程度の幅の Cr 欠乏層形成が実現可能であり、この値は Photo. 6 の粒界無析出物領域の幅と非常によく一致している。そして、この場合の粒界腐食感受性を消失させるためには、焼鈍により粒界無析出領域よりさらに粒内側に新しく微細窒化物が現われ Cr 欠乏層の幅が増加するので、消失時間は 600°C で結局約 6 h と長くなるが、その間の Cr の平均拡散距離を計算すると 3500\AA となり、これは Photo. 6 の粒界析出層全体の幅の $1/2$ (粒界から 6000\AA $\sim 1\mu$) に近くなり、定性的に一致する。

4.2 粒界腐食感受性と炭化物と窒化物の析出

BÄUMEL⁵⁾ は 600°C での焼鈍初期の最大粒界腐食領域で M_7C_3 と M_3C が存在し、 $M_{23}C_6$ は存在せず、腐食速度が小さくなる長時間の焼鈍により $M_{23}C_6$ と M_7C_3 が検出できることを報告している。その後他の研究者⁸⁾⁹⁾は粒界腐食を $Cr_{23}C_6$ の析出と結びつけて議論している。

本研究の電気抵抗測定の結果から、フェライト系ステンレス鋼の炭化物の析出は4段階の温度で、また窒化物は2段階の温度で析出することが実証された。またこのうち、粒界腐食感受性と関係あるのは炭化物の第Ⅲcステージと窒化物の第I_Nステージであり、前者の第Ⅲcステージは $(Cr, Fe)_3C_3$ の析出に対応することが確かめられた。しかし後者の第I_Nステージの析出物はCrNとも Cr_2N とも異なる回折模様を示し、また600°Cでの焼鈍に伴う電気抵抗変化によるとこの温度では Cr_2N の析出は起こっていないと判断される。したがつて、この第I_Nステージの析出物は現在まだ不明であるが、 Cr_2N の析出前段階のものようである。

本来、Fe-Cr-C 平衡状態図¹⁸⁾では Cr_{23}C_6 が 17%Cr ステンレス鋼の安定相であり、 $(\text{Cr}, \text{Fe})_7\text{C}_3$ は本実験あるいは他の報告¹¹⁾¹⁵⁾から準安定相といえる。したがつて、フェライト系ステンレス鋼に Cr_{23}C_6 が析出する場合、まず準安定相の $(\text{Cr}, \text{Fe})_7\text{C}_3$ が析出し、その後 Cr_{23}C_6 に変態すると考えられる。この変態に伴つて外部から補なわるべき Cr は周囲のマトリックスから拡散しなければならないが、フェライト系ステンレス鋼中の Cr の拡散速度はオーステナイト系ステンレス鋼のそれより大きく、また析出温度も高いのでこの拡散によつて生ずる Cr 欠乏層はほとんど同時に周囲からの Cr の拡散により消失すると考えられ、その結果 Cr_{23}C_6 の析出段階ではもはや粒界腐食感受性は現われないと解釈される。しかし、850°C 以上の高温に加熱すると、この Cr_{23}C_6 と平衡して固溶する C がふたたび増加するので、これを急冷すると、その速度が早くても低温域で $(\text{Cr}, \text{Fe})_7\text{C}_3$ が析出し、その周辺に Cr 欠乏層を生ずる。また高温からできるだけ速やかに冷却して鋼中にほとんどの C と N を固溶させた場合、800°C 以下の低温で焼鈍するとやはりいつたん $(\text{Cr}, \text{Fe})_7\text{C}_3$ と Cr_2N の前段階析出物が析出し Cr 欠乏層を生ずるが、時間が経過すると Cr_{23}C_6 や Cr_2N の析出が起り、その時にはマトリックスから Cr が拡散てきて Cr 欠乏層が埋められ、粒界腐食感受性が消失する。したがつて、800°C 以下の焼鈍では、その温度が高いほど $(\text{Cr}, \text{Fe})_7\text{C}_3$ と Cr_2N 前段階析出物が析出しやすいが、Cr の拡散も早いので粒界腐食感受性を早く消失する。550°~600°C ではその意味で粒

界腐食感受性が著しく鋭敏化し、しかも回復が遅い。

5. 総括

フェライト系ステンレス鋼の粒界腐食感受性の強弱と炭化物と窒化物析出との関係を調べるために、極低C, NのSUS 430鋼と実験室溶解鋼を用いて、硫酸-硫酸第2鉄溶液による粒界腐食試験、電気抵抗測定および透過電子顕微鏡観察を行なつた。主要な結果をまとめると次のとおりである。

(1) 極低C, NのSUS 430鋼を1200°Cで加熱後冷却する際、空冷程度の冷却速度で腐食速度は最大となり、その状態の試料の粒界には網目状の $(Cr, Fe)_7C_3$ の析出が認められた。この試料を600°Cで焼鈍すると、粒界から1500~2000Å離れた所に約50Åの微細な窒化物が新たに析出し、粒界とこの析出物層との間（無析出領域）がいわゆる空冷途中に生ずるCr欠乏層であることがわかつた。このように600°Cで焼鈍すると、無析出領域の粒内側に微細な窒化物が新しく出現するためCr欠乏層の幅はより広くなり、この試料が600°C焼鈍で粒界腐食感受性を消失するのに要する焼鈍時間は約6hと長くなり、この間にCrが拡散する距離を計算すると約3500Åとなり、これは拡大したCr欠乏層の幅と大体一致する。

(2) 極低C, NのSUS 430鋼を1200°Cから水冷後等時焼鈍して腐食減量の変化を電気抵抗変化と対応させると、550~600°Cでの析出ステージが粒界腐食感受性の増大に関係することが確認できた。CとNの量を組み合わせた真空溶解鋼による実験で、この析出ステージは $(Cr, Fe)_7C_3$ と Cr_2N 前段階析出物の析出によるものであることが判明した。

(3) 極低C, NのSUS 430鋼を1200°Cから水冷し600°Cで焼鈍すると、粒界腐食感受性は3minで最大となり、180minで消失する。この過程の試料を電子顕微鏡観察すると、3minで約50Åの Cr_2N 前段階析出物がすでに析出しており、時間が長くなるにつれて

それらが凝集する。180minの焼鈍によるCrの平均拡散距離は約2400Åと計算され、これも焼鈍初期にみられるCr欠乏層（粒界析出層）の幅と一致する。

以上の結果から、フェライト系ステンレス鋼の粒界腐食は、粒界への $(Cr, Fe)_7C_3$ と Cr_2N 前段階析出物の析出のため形成された周辺のCr欠乏層によって生ずることが確かめられた。

文 献

- 1) E. HOUDREMONT und P. SCHAFMEISTER: Arch. Eisenhüttenw., 7 (1933), s. 178
- 2) E. HOUDREMONT und W. TOFAUTE: Stahl u. Eisen, 72 (1952), s. 539
- 3) R. A. LULA, A. J. LENA, and G. C. KIEFER: Trans. ASM, 46 (1954), p. 197
- 4) J. HOCHMANN: Rev. Mét., 48 (1951), p. 734
- 5) A. BÄUMEL: Arch. Eisenhüttenw., 34 (1963), s. 135
- 6) G. HERBSLEB und W. SCHWENK: Werkstoffe u. Korrosion, 19 (1968), s. 103
- 7) A. P. BOND: Trans. AIME, 245 (1969), p. 2127
- 8) M. A. STREICHER: Corrosion, 29 (1973), p. 337
- 9) J. J. DEMO and A. P. BOND: Corrosion, 31 (1975), p. 21
- 10) 岡田秀弥, 細井祐三, 山本一雄, 小川洋之, 伊藤功: 1972年10月日本金属学会講演概要, p. 73
- 11) E. KASSEM: Arch. Eisenhüttenw., 46 (1975), s. 111
- 12) 佐藤知雄, 金子秀夫, 遼野井英三: 日本金属学会誌, 22 (1958), p. 484
- 13) 増本健, 武田滋, 今井勇之進: 日本金属学会誌, 33 (1969), p. 1024
- 14) E. BAERLECKEN, W. A. FISHER, und K. LORENZ: Stahl u. Eisen, 81 (1961), s. 768
- 15) J. BEECH and D. H. WARRINGTON: JISI, 204 (1966), p. 460
- 16) R. A. WOLFE and H. W. PAXTON: Trans. AIME, 230 (1964), p. 1426
- 17) T. MORI, M. MESHII, and J. W. KAUFFMAN: J. Appl. Phys., 33 (1962), p. 2776
- 18) W. DANNÖHL, W. KOCH, und H. J. WIESTER: Stahl u. Eisen, 69 (1949), s. 85